УДК 539,216.2

ТОЧНОЕ РЕШЕНИЕ ЗАДАЧИ ОПРЕДЕЛЕНИЯ ПРОФИЛЯ ПОКАЗАТЕЛЯ ПРЕЛОМЛЕНИЯ *S-*ВОЛНОВОДОВ

э. А. АРУТЮНЯН, С. Х. ГАЛОЯН, С. П. ПОГОСЯН

Институт физических исследований АН АрмССР

(Поступила в редакцию 21 ноября 1988 г.)

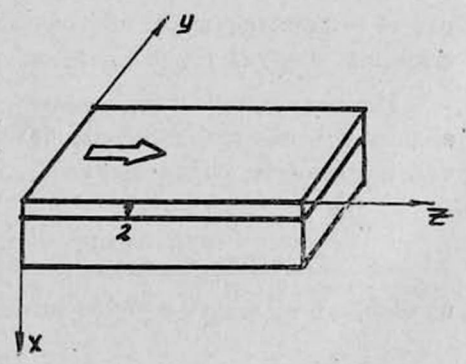
Аналитически решено волновое уравнение для оптических волноводов с ферми-видом профиля показателя преломления (ППП). Получено точное дисперсионное уравнение и проведен расчет ППП оптических волноводов такого типа.

В работах [1, 2] профиль показателя преломления (ППП) волноводов, полученных ионным облучением, дивлектрических кристаллов (S-волноводов) был определен методом аппроксимации функцией Ферми. При этом использовалось дисперсионное уравнение, полученное в оптиколученом приближении [3]. Было показано, что такое приближение на практике, в основном, обеспечивает высокую точность определения параметров S-волноводов.

В данной работе, на основе аналитического решения волнового уравнения для волноводов с Ферми-видом ППП, получено точное дисперсионное уравнение и проведен расчет параметров оптических S-волноводов в кристаллах ИАГ. Решение этой задачи полезно как для практического использования полученных результатов, так и для выявления пределов применимости оптиколучевого приближения к данному классу волноводов.

Волновое уравнение для TE моды дивлектрического планарного волновода, распространяющегося по направлению оси Z (см. рис. 1); имеет вид

Рис. 1. Схематическое изображение планарного оптического волновода: 1 — волноводный слой, 2 — подложка. Стрелкой указано направление распространения зондирующего излучения.



$$\frac{\partial^2 E}{\partial x^2} + k^2 [n^2(x) - n_m^2] E = 0, \qquad (1)$$

где $k=\frac{2\pi}{\lambda_0}$, r_0 — длина волны света в вакууме, n_n — эрфективный показатель преломления (ПП) m - ой моды волновода, $n^2 x$ — профиль диэлектрической проницаемости, который в соответствии с работой [1] для S - волноводов имеет вид

$$n^{2}(x) = n_{d}^{2} + \frac{\Delta^{2}}{1 + \exp\left(\frac{x - h}{\chi}\right)}, \qquad (2)$$

где h — характерная толщина волновода, χ — параметр, определяющий крутизну ППП, $n_d = n \, (x \to \infty)$ — величина ПП на бесконечности,

 $\Delta = (n_F^2 - n_d^2) (1 + e^{-\frac{\hbar}{2}}), n_F = n(x = 0)$ — величина ПП на поверхности волновода. После несложных математических преобразований уравнение (1), с учетои (2), можно привести к уравнению гипергеометрического вида [4].

$$\psi(1+\psi)\frac{\partial^2 u}{\partial \psi^2} + (1+i2q\chi)(1-\psi)\frac{\partial u}{\partial \psi} + \gamma u = 0, \qquad (3)$$

где приняты следующие обозначения:

$$\psi = -\exp\left(\frac{x-h}{\chi}\right), E = u\exp(i\,q\,\chi),$$

$$\gamma = k^2\,\Delta^2\,\chi^2, \ q = k\,(\Delta^2 - n_m^2 + n_d^2)^{1/2}.$$

Уравнение (3) имеет два независимых решения:

$$u_1 = F(a, b, c, \psi),$$

$$u_2 = \exp(-i2q\chi \ln \psi) \cdot F(a^*, b^*, c^*, \psi)$$

и, следовательно, общее решение для поля $E\left(x\right)$ имеет вид

$$E(x) = A \exp(iqx) \cdot F(a, b, c, \psi) + k. c., \tag{4}$$

где A — произвольная постоянная, $F(a,b,c,\psi)$ — гипергеометрическая функция, $a=\chi(k\sqrt{n_m^2-n_d^2}+iq)$, $b=-a^*$, c=1+(a+b).

Используя граничные условия на верхней границе (x=0) волновода и условие исчезновения полей на бесконечности ($x\to\infty$), получим следующее соотношение

$$\frac{q-ip}{q+ip}\exp(i2\cdot qh) = -\frac{a^*}{a}, \frac{\Gamma(c^*)\Gamma^2(1+a)}{\Gamma(c)\Gamma^2(1+a^*)}, \qquad (5)$$

из которого и следует искомое дисперсионное уравнение:

$$qh - \arctan \operatorname{tg} \frac{p}{q} + \arctan \operatorname{tg} \frac{\eta}{q} - S_{m} = \pi m,$$

$$P = k (n_{m}^{2} - 1)^{1/2}, \, \eta = k (n_{m}^{2} - n_{d}^{2})^{1/2},$$
(6)

где

$$S_m = \sum_{n=1}^{\infty} \left[\operatorname{arctg} \frac{2 q \chi}{n} - 2 \operatorname{arctg} \left(\frac{q \chi}{n + \eta \chi} \right) \right]. \tag{7}$$

Легко показать, что при х → 0 ряд (7) приводится к виду

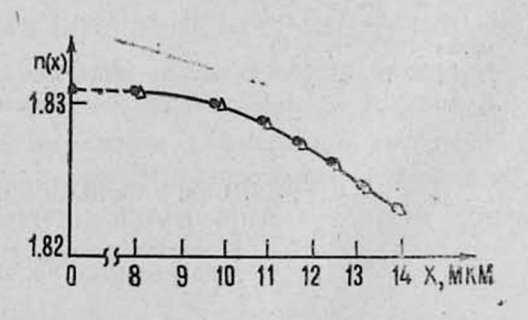
$$S_m = \frac{\pi^2}{3} q \eta \chi^2 \tag{8}$$

$$q h - \operatorname{arctg} \frac{p}{q} - 2 q \chi \ln \left(\frac{k\Delta}{2 q} \right) - 2 k \chi \sqrt{n_m^2 - n_d^2} \operatorname{arctg} \left(\frac{q}{k\Delta} \right) = \pi \left(m + \frac{1}{4} \right). \tag{9}$$

Видно, что это уравнение полностью совпадает с дисперсионным уравнением для S-волноводов, полученным в оптиколучевом приближении [1]. В рамках проведенного разложения можно также определить границы применимости лучевого приближения для данного класса волноводов. Лучевое приближение обеспечивает достаточную точность при расчете ППП S-волноводов, если удовлетворяется условие пренебрежимости следующего члена разложения

$$\frac{1}{12 k \Delta \chi} \ll 1. \tag{10}$$

Рис. 3. Профиль показателя преломления для TE волн оптического волновода в кристалле $UA\Gamma$, полученный облучением протонами (облучение протонами при температуре жидкого азота с внергией E=1,4 МвВ при дозе облучения $D=1,3\cdot10^{48}$ см $^{-2}$), $\Delta-\Pi\Pi\Pi$, рассчитанный с помощью решения точного дисперсионного уравнения, $\Phi-\Pi\Pi\Pi$, рассчитанный на основе оптиколучевого приближения [1].



Следовательно, S-волноводы с крутизной профиля $\chi \gg \chi_0 = \frac{1}{12 \, k^\Delta}$ могут описываться характеристическим уравнением типа (9).

Для оценки характерной величины X0 рассмотрим S-волноводы

на основе кристаллов ИАГ. Учитывая, что $\Delta^2 = (n_F^2 - n_d^2) \left[1 + \exp \left(\frac{n_F^2}{n_f^2} - \frac{n_d^2}{n_f^2} \right) \right]$ $\left(-\frac{h}{2}\right)$ (см. формулу (2)), где $n_F - \Pi\Pi$ на поверхности волновода $(n_F = n(0))$ при $n_F \approx 1.83$, $n_d \approx 1.79$, получаем $\chi_0 \approx 0.02$.

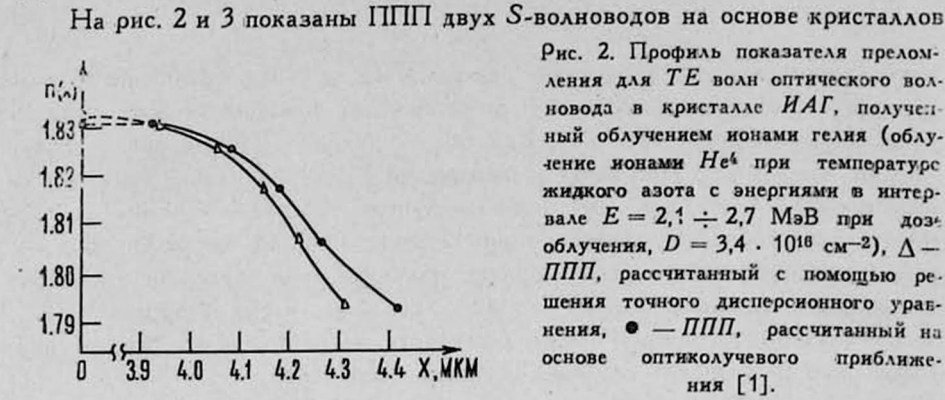


Рис. 2. Профиль показателя преломления для ТЕ волн оптического волновода в кристалле ИАГ, полученный облучением ионами гелия (облунение ионами Не4 при температурс жидкого азота с энергиями в интервале E = 2,1 ÷ 2,7 МэВ при дозоблучения, $D = 3.4 \cdot 10^{16}$ см⁻²), Λ — ППП, рассчитанный с помощью решения точного дисперсионного уравнения, • — ППП, рассчитанный на основе оптиколучевого приближения [1].

ИАГ, полученных облучением ионами гелия и протонами соответственно, восстановленные с помощью решения уравнений (6) и (9). Как видно из рис. 2, в случае гладкого профиля (х ~ 1), оба решения с высокой точностью совпадают. Однако для волноводов с резким видом ППП ($\chi \sim 0.03$) наблюдается явное расхождение результатов расчета (см. рис. 3).

Таким образом, на основе решения волнового уравнения для S-волноводов получено точное дисперсионное уравнение и показано, что в предельных случаях ($\chi \to 0$ и $\chi \gg \chi_0$) оно совпадает с соответствующими уравнениями оптико лучевого приближения. Проведен расчет ППП оптических S-волноводов на основе кристаллов ИАГ и определены границы применимости оптиколучевого приближения к данному классу волноводов.

ЛИТЕРАТУРА

- 1. Arutunyan E. A., Galoyan S. Kh. Opt. Comm. 56, 399 (1986).
- 2. Галоян С. Х. Тезисы конф. молодых ученых по актуальным проблемам физики, Дилижан, 1985, стр. 115.
- 3. Адамс М. Введение в теорию оптических волноводов, Изд. Мир. М., 1984.
- 4. Ландау Л. Д., Лифшиц Е. М. Квантовая механика, Изд. Наука, М., 1972.

Տ-ԱԼԻՔԱՏԱՐՆԵՐԻ ԲԵԿՄԱՆ ՑՈՒՑԻՉԻ ՊՐՈՖԻԼԻ ՈՐՈՇՄԱՆ

է. Հ. ՀԱՐՈՒԹՅՈՒՆՅԱՆ, Ս. Խ. ԳԱԼՈՅԱՆ, Ս. Պ. ՊՈՂՈՍՅԱՆ

Ֆերմի-տեսթի բեկման ցուցիլի պրոֆիլով օպտիկական ալիջատարների ալիջային հավասարումբ լուծվել է անալիտիկորեն։ Ստացվել է ճշգրիտ դիսպերսիոն հավասարում և կատարվել է այդ օպտիկական ալիբատարների բեկման ցուցիչի պրոֆիլի հաշվարկ։

EXACT SULUTION OF THE PROBLEM OF S-WAVEGUIDES REFRACTION INDEX PROFILE DETERMINATION

E. A. ARUTYUNYAN, S. KH. GALOYAN, S. P. POGOSYAN

The wave equation for optical wavequides with Fermi-type refractive index profile is analytically solved. The exact dispersion equation is derived and the refractive index profile for such a type of waveguides is calculated.

Изв. АН Армянской ССР, Физика, т. 24, вып. 5, 219-223 (1989)

УДК 535;535.24;535.6

ВАРИАЦИЯ СВОБОДНОЙ ЭНЕРГИИ ДИСПЕРГИРУЮЩЕЙ СРЕДЫ В КВАЗИМОНОХРОМАТИЧЕСКОМ СВЕТОВОМ ПОЛЕ

К. Е. АСАТРЯН, Н. В. ТАБИРЯН

-Институт прикладных проблем физики АН АрмССР

(Поступила в редакцию 2 декабря 1988 г.)

Показано, что вариация свободной энергии прозрачной среды в квазимонохроматическом световом поле зависит от дисперсных свойств среды. Сила, обусловленная дисперсией, действует только в случае, когда мгновенная частота световой волны меняется во времени.

1. В работе [1] (см., также [2], § 81) было показано, что при вариации диэлектрической проницаемости бє среды, находящейся во внешнем электрическом поле, плотность свободной энергии меняется на величину

$$\delta F = -\frac{E^2}{8\pi} \delta \varepsilon, \tag{1}$$

тде E — напряженность электрического поля. На примере замкнутой системы, состоящей из конденсатора и катушки индуктивности было показано, что выражение (1) справедливо также для квазимонохромаческого поля $E = E_0(t) \exp(-i\omega t)$ в диспергирующей среде с заменой F и E на усредненные по периоду высокочастотных колебаний $E = E_0(t) \exp(-i\omega t)$ в этом случае соответствует изменению диэлектрической проницаемости среды на частоте $E = E_0(t)$

В настоящей работе получено выражение для вариации свободной энергии диспергирующей среды в вквазимонохроматическом световом поле. Показано, что $\delta \widetilde{F}$ может зависеть от дисперсных свойств среды $d \, \varepsilon \, (\omega) \, / \, d \, \omega$ при временной вариации мгновенной частоты квазимонохроматической волны.

2. Известное выражение для средней плотности энергии квазимонокроматической электромагнитной волны в прозрачной, изотропной и диспергирующей среде в оптическом диапазоне частот [2]

$$\overline{U} = \frac{1}{16\pi} \left[\left(\varepsilon + \omega \frac{d\varepsilon}{d\omega} \right) |\mathbf{E}|^2 + |\mathbf{H}|^2 \right], \qquad (2 \text{ a})$$